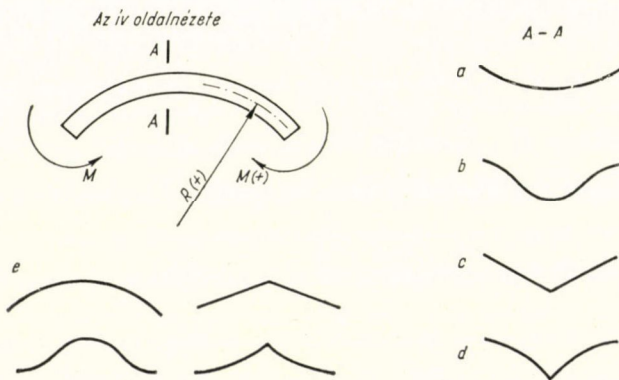


Dr. KOLLÁR LAJOS, a műszaki tudományok kandidátusa

KÖZPONTOSAN NYOMOTT HÉJ-ÍVEK STABILITÁSA

1. Bevezetés

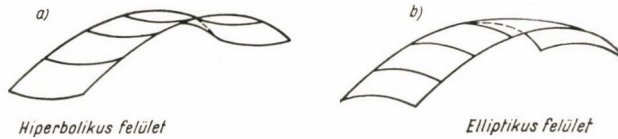
1.1. *A dolgozat tárgya.* A dolgozat célja: központosan nyomott görbetengelyű vékony rugalmas rudak (a továbbiakban „hég-ívek”) stabilitásának vizsgálata az ív saját síkjában. Központos nyomáson azt értjük, hogy a külső erők támaszvonala megegyezik az ívtengellyel. A gyakorlati felhasználás céljából kívánatos lenne, hogy ezt a problémát tetszőleges szimmetrikus ívkeresztmetszet, változó keresztmetszetű ív, tetszőleges ívtengely-alak és tetszőleges megtámasztás esetére megoldjuk. A problémát ilyen általánosságban nem tárgyaljuk. Megmutatjuk azonban, hogy a gyakorlat számára kielégítő pontossággal meg tudjuk határozni egy ilyen általános hég-ív kritikus terhét, ha megoldottuk a következő egyszerűbb feladatot:



1. ábra

Adva van az 1. ábrán vázolt tetszőleges szimmetrikus keresztmetszetű, hosszirányban körív-tengelyű hég-ív. Az ív keresztmetszete, valamint a hég-ív vastagsága is mindenütt állandó. Az ívre csak a két végén hat két ellentett erőpár, így az ívet nem is kell megtámasztani. Keressük az összefüggést az ívre ható hajlítónyomaték és a görbületváltozás között. A dolgozatban tehát elsősorban ezzel fogunk foglalkozni.

1.2. A héj-ívek viselkedésének leírása. A héj-íveket a mérnöki gyakorlatban térfedő szerkezetként alkalmazzák (2. ábra). Alakjuk hasonlít a kettősen görbült héjakéhoz, de hosszirányú peremükön nincs ívtartó. Ezért tetszőleges teherre nem lehetnek membránállapotban, hanem keresztirányú nyomatékok ébrednek bennük.



2. ábra

A héj-ívek viselkedése a következőkben tér el a közönséges (tömör keresztmetszetű) rudakétól: Ha a *közönséges rudat* hajlítjuk, akkor a görbületváltozás (χ) és a hajlítónyomaték (M) között a következő összefüggés áll fenn:

$$M = E \cdot J \cdot \chi, \quad (1)$$

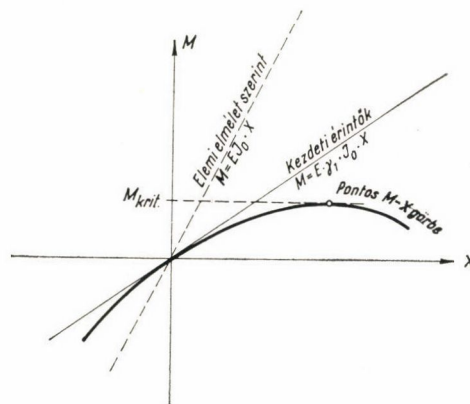
ahol E a rúd anyagának rugalmassági modulusa,
 J a rúdkeresztmetszet inercianyomatéka.

Az EJ szorzatot a rúd *hajlítási merevségének* is nevezik. Mi a továbbiakban hajlítási merevségnek fogjuk hívni a hajlítónyomaték és a görbületváltozás arányát.

Igazolni fogjuk, hogy ha a *héj-ívet* hajlítjuk, akkor a hajlítónyomaték és a görbületváltozás között a következő összefüggés áll fenn (3. ábra):

$$M = A(R) \cdot \chi - B(R) \cdot \chi^2 \quad (2)$$

Itt $A(R)$ és $B(R)$ a héj-ív hosszirányú R görbületi sugarától függő kifejezések.



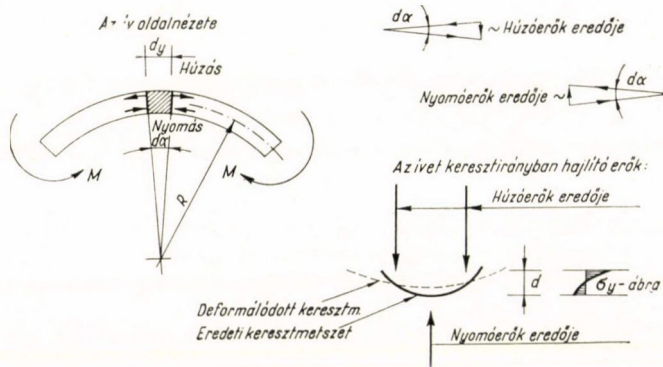
3. ábra

A 3. ábrából a következő fontos eredményeket olvashatjuk le:

a) A héj-ív a hajlítónyomaték egy bizonyos M_{krit} értékénél *tiszta hajlítás* esetén is elveszti stabilitását;

b) Ha kiszámítjuk a héjkeresztmetszet J_0 inercianyomatékát az elemi szilárdságtan szokásos módszerei szerint, s felrakjuk az $M = E \cdot J_0 \cdot \chi$ összefüggést, sokkal meredekebb egyenest kapunk a 3. ábrában, mint a valódi $M(\chi)$ görbe 0-pontbeli érintője. Ez azt jelenti, hogy a *hég-ív* hajlításra sokkal *lágább*, mint az elemi elmélet szerint várható volna.

Az $M(\chi)$ görbe 0 pontbeli érintőjét úgy jellemezhetjük, hogy a héjkeresztmetszet J_0 „elemi” inercianyomatéka helyett egy csökkentett $\gamma_1 \cdot J_0 = J_1$ „hatékony” inercianyomatékkal kell az $M = E \cdot J_1 \cdot \chi$ összefüggést felírunk ($\gamma_1 \leq 1$).



4. ábra

Az áttekinthetőség kedvéért a tárgyalást *két részre bontjuk*. Az *első részben* (ebben a dolgozatban) meg fogjuk határozni a valódi $M(\chi)$ görbe kezdeti érintőjét, vagyis a γ_1 mennyiséget. Ennek segítségével ki tudjuk számítani a *központosan nyomott hég-ívnek* az ív síkjában való kihajlásra mértékadó *kritikus nyomóerejét*. A központos nyomásra való stabilitásmeghatározáshoz ugyanis mindig egy *végtelen közeli*, szomszédos egyensúlyi alakot kell vizsgálni. Végtelen közeli deformált alak azonban végtelen kis görbületváltozásokot jelent, vagyis a pontos $M(\chi)$ görbe helyett a kezdeti érintőt vehetjük. Ebből következik, hogy a hég-ívet központos nyomásra úgy vizsgálhatjuk, mintha közönséges ív lenne, csak az elemi J_0 inercianyomaték helyett a csökkentett $\gamma_1 \cdot J_0$ „hatékony” inercianyomatékot kell behelyettesítenünk az ív kritikus nyomóerejének képletébe.

A *második részben* (következő dolgozatunkban) meghatározzuk a teljes $M(\chi)$ görbét, s ezzel meg tudjuk vizsgálni az ívet *hajlításra*.

Minden számítás nélkül, szemlélettel is beláthatjuk, hogy miért *lágábbak* a hég-ívek hajlítással szemben, mint az elemi számítás szerint várható volna. Vegyük szemügyre ugyanis a 4. ábrán vázolt, hosszirányban görbe héjnak tetszőleges helyen levő, két egymástól dy távolságra levő keresztmetszete közti elemi szakaszát. A hosszirányú görbeség miatt a hosszirányú húzó- és nyomófeszültségek az ívtengelyre merőleges eredőt adnak. Ezek a keresztmetszetet (a 4. ábrán vázolt esetben) ki akarják egyenesíteni. A hég ennek a kiegyenlítési törekvésnek mint keresztirányban hajlított lemez áll ellen, csekély hajlítási merevsége miatt csak tetemes alakváltozások árán. Ha a keresztmet-

szetnek keresztirányban egyáltalán nem lenne hajlítási merevsége, akkor magának az ívnek sem lenne semmi hajlítási merevsége, mert ebben az esetben az ívkeresztmetszet már egészen kis hosszirányú feszültségek hatására is kitérne: teljesen ellapulna (ill. feldomborodna), s így semmi hajlítónyomatékot sem tudna felvenni. A valóságban a héjlemez keresztirányú hajlítási merevsége nem zérus, de mindenesetre kis érték, tehát a keresztmetszet a hosszirányú feszültségek eredőinek hatása elől igyekszik kitérni, s emiatt az ív hajlítási merevsége lényegesen kisebb lesz, mint az elemi elmélet szerint számítható merevség.

Mindebből láthatjuk, hogy a héj-ív hosszirányú hajlítási merevsége nem számítható az elemi szilárdságtan szerint a keresztmetszet eredeti (megterhelés előtti) alakjából, sőt a deformálódott keresztmetszet-alakból sem. A szemlélettel ellentétben az sem növeli a hajlítási merevséget, ha a keresztmetszet a terhelés hatására feldomborodik (tehát az „elemi” szemlélet szerint az inercianyomatéka nőne), hanem a keresztmetszetnek mind az ellapulása, mint a feldomborodása csökkenti a hajlítási merevséget.

Mivel a keresztmetszet ellapulásához vagy feldomborodásához az szükséges, hogy az ív *hosszirányú görbülete miatt* a hosszirányú feszültségeknek legyen az ívtengelyre merőleges eredőjük, könnyen belátható, hogy *egyenes tengelyű* héjkeresztmetszetű rudak kezdetben az elemi elmélet szerint viselkednek, s csak akkor kezdenek ettől eltérni s lesznek lágyabbak, amikor már meggörbültek.

Az elmondottakból az is következik, hogy ha héj-ív keresztmetszetét *meggátoljuk keresztirányú alakváltozásában*, akkor a héj-ív az elemi szilárdságtan szerint fog viselkedni: hajlítási merevsége EJ_0 lesz (3. ábra), és semmiféle *hajlítási instabilitás* nem áll be. Ha pl. több héj-ívet építünk egymás mellé, akkor ezek egymás alakváltozását kölcsönösen gátolják, tehát lényegesen merevebbek, mint az egyedülálló héjíviek. Dolgozatunk tehát csak olyan önálló héj-ívekre vonatkozik, melyeknek keresztirányú alakváltozása nincs meggátolva.

A héj-ív nemcsak a leírt módokon vesztheti el *stabilitását* (központos nyomásra az ív síkjában, valamint függőleges síkú hajlításra), hanem központos nyomás esetén tönkremehet *vízszintes síkú kihajlással, elcsavarodó kihajlással* és a *héjlemez helyi horpadásával* is. Ezekkel a jelenségekkel a dolgozatban nem foglalkozunk. Konkrét tervezés során azonban ezekre a veszélyekre is figyelemmel kell lenni.

1. 3. *Irodalmi áttekintés.* Időrendben először Kármán [5] adott elméleti megoldást körkeresztmetszetű *görbe* csövek viselkedésére kis hajlítónyomatékok hatására. Brazier [2] *egyenes* celluloidcsöveken végzett hajlítókísérletei során elsőnek fedezte fel a hajlítónyomaték növelésével beálló instabilitást, és közelítő elméleti megoldást is adott a jelenségre.

Chwalla [3] *egyenes* cső hajlítási kritikus nyomatékára adott Braziernál pontosabb megoldást. *Belluzzi* [1] és *Funk* [4] az *egyenes tengelyű* kör-, körív- és V-keresztmetszetű rúd kritikus hajlítónyomatékát határozta meg energiamódszerrel. *Weinel* [6] állandó körív-keresztmetszetű, hosszirányban is körív-tengelyű (hiperbolikus) héj-ívet vizsgált tiszta hajlításra. Egyszerűség kedvéért felteszi, hogy a keresztmetszet *lapos*, de nem hanyagolja el a Poisson-számot, ezért már a legegyszerűbb körív-keresztmetszet esetén is bonyolult képleteket kap, s eredményeit nem lehet általánosítani más keresztmetszetekre.

2. Az $M(x)$ görbe meghatározása

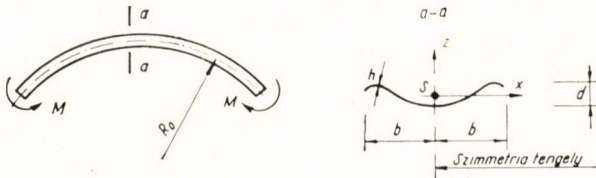
2.1. A levezetés feltevései

A héj-ív anyaga homogén, izotróp és követi a Hooke-törvényt.

Az ív hosszirányú R görbületi sugara nagy a keresztmetszet d magasságához képest ($R \gg d$).

A héj-ív h vastagsága kicsi a többi mérethez képest. Így a keresztmetszet súlypontját, inercianyomatékát stb. mint vonaldarabét számíthatjuk.

Az ívkeresztmetszet *lapos*, azaz a keresztmetszet középvonalát jelentő $z_0(x)$ görbe (5. ábra) ds ívelemét a vetületi dx elemmel helyettesíthetjük.



5. ábra

A *harántkontrakciót* (a Poisson-féle számot) elhanyagoljuk ($\nu = 0$).

A héj-ív saját súlyát a levezetésekben nem vesszük figyelembe, mivel csak az ív hajlítással szemben tanúsított viselkedését akarjuk meghatározni.

Feltesszük, hogy a héj-ív két végén a külső erők a belső feszültségek eloszlásának megfelelően hatnak az ívre. A valóságban ez általában nem teljesül, pl. ha a 2. ábra szerinti tetőszerkezet vonóvasas ív, akkor a nyomóerőt a két vonóvas koncentráltan adja át, nem egyenletes megoszlásban. Így a héj-ív végét magasfalú tartóként kell méretezni, a héj görbültségéből származó korrekció figyelembevételével. Az ezzel kapcsolatos kérdésekre azonban nem térünk ki.

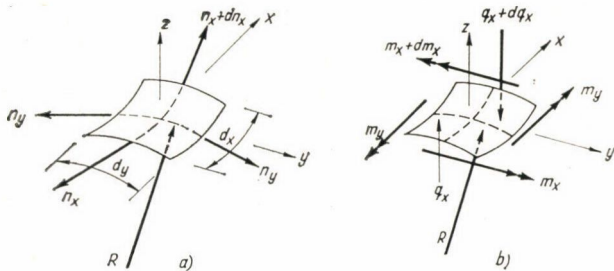
Nem vesszük figyelembe a *nyírási* alakváltozás hatását a függőleges síkú kihajlás kritikus nyomóerejére. Ezt az indokolja, hogy a héj-ívek merevsége nyírással szemben ugyanakkora, mint a közönséges (tömör keresztmetszetű) rudaké, hajlítási merevségük azonban lényegesen kisebb. A nyírási alakváltozás hatása a héj-ívek kritikus nyomóerejére így még kisebb, mint a tömör keresztmetszetű rudakéra.

2.2. Tetszőleges keresztmetszet deformációja. A héj-ív (1. ábra) tengelye, vagyis a keresztmetszetek súlypontjának összekötő vonala R_0 sugarú körív, keresztmetszete pedig az ív hossza mentén állandó, de egyébként tetszőleges $z_0(x)$ szimmetrikus görbe (5. ábra). A $z_0 - x$ koordinátarendszer origóját vegyük fel a keresztmetszet S súlypontjában. Az ív két végén működnek két egyenlő nagyságú, de ellenkező értelmű M erőpár. Így a különböző keresztmetszetek egyforma helyzetben lesznek, vagyis joggal feltételezhetjük, hogy az *eredetileg sík keresztmetszetek* alakváltozás után is *síkok maradnak*.

A külső nyomaték és a hosszirányú görbületi sugár az 5. ábrán vázolt értelemben tekintendő pozitívnak.

A héjelem alakváltozásait a keresztmetszet *deformálódás utáni*, egyelőre ismeretlen $z(x)$ alakjával fejezzük ki, ezeket behelyettesítjük az egyensúlyi egyenletekbe, s így differenciálegyenletet kapunk $z(x)$ -re.

Az egyensúlyi egyenletek felírásához vágjunk ki az ívből tetszőleges helyen egy $dx \cdot dy$ méretű héjelemet (6. ábra, y az ívtengely menti koordináta). A héjelemre ható feszítőerőket a 6/a-b ábrán szétválasztva tüntettük el. R az ív alakváltozás utáni hosszirányú görbületi sugara.



6. ábra

Vetület az x tengelyre:

$$n'_x = 0 \quad (3/a)$$

(az x szerinti differenciálást vesszővel jelölve).

Mivel a héj szélén ($x = \pm b$), $n_x = 0$; így n_x mindenütt zérus! A (3/a) egyenletben nem szerepel n_{xy} , mert a keresztmetszetek síkok maradnak, s így n_{xy} mindenütt zérus.

Vetület a z tengelyre:

$$-\frac{n_y}{R} - q'_x = 0. \quad (3/b)$$

Nyomaték az y tengely körül:

$$-m'_x + q_x = 0. \quad (3/c)$$

Nyomaték az x tengely körül:

$$m'_y = 0, \quad (3/d)$$

azaz m_y konstans.

A keresztmetszet szimmetriája és a tiszta hajlítói igénybevétel miatt a többi egyensúlyi egyenlet kiesik, mert a többi feszítőerő zérus.

A (3/b) és (3/c) egyensúlyi egyenletekből kiküszöböljük q_x -et:

$$m''_x + \frac{n_y}{R} = 0. \quad (4)$$

n_y -t és m_x -et a Hooke-törvény segítségével kifejezzük a fajlagos alakváltozásokkal (ϵ_y a hosszirányú nyúlás, χ_x a keresztirányú görbületváltozás):

$$n_y = E \cdot h \cdot \epsilon_y \quad (5)$$

$$m_x = \frac{E \cdot h^3}{12} \cdot \chi_x \quad (6)$$

ε_y -t és χ_x -et kifejezzük a keresztmetszet deformálódott alakjával, z -vel:

$$\varepsilon_y = \frac{z}{R} - \frac{z_0}{R_0} \quad (7)$$

(7) egyenlethez a következőket kell meggondolnunk: Mivel az eredetileg sík keresztmetszetek a korábban mondottak szerint síkok maradnak, a hosszirányú megnyúlás a keresztmetszet súlyvonalától való z távolsággal egyenesen, az ív hosszirányú görbületi sugarával pedig fordítva arányos (z/R). A megnyúlást azonban csak az eredeti állapottal (z_0/R_0) mért *eltérés* adja, ezért kell z_0/R_0 -t z/R -ből levonni. $R \gg d$ miatt a keresztmetszet minden pontján ugyanazt a hosszirányú görbületi sugarat vehetjük ($R + z \approx R$).

χ_x -et szintén z -vel fejezzük ki:

$$\chi_x = z'' - z_0'' \quad (8)$$

(7)-et és (8)-at (5)-be és (6)-ba helyettesítjük:

$$n_y = E \cdot h \cdot \left(\frac{z}{R} - \frac{z_0}{R_0} \right) \quad (9)$$

és

$$m_x = \frac{E \cdot h^3}{12} (z'' - z_0'') \quad (10)$$

(9)-et és (10)-et (4)-be visszahelyettesítve z -re a következő differenciálegyenletet kapjuk:

$$\frac{E \cdot h^3}{12} (z^{IV} - z_0^{IV}) + \frac{E \cdot h}{R} \left(\frac{z}{R} - \frac{z_0}{R_0} \right) = 0 \quad (11)$$

Bevezetjük a keresztmetszet w alakváltozását (függőleges eltolódását):

$$w = z - z_0 \quad (12)$$

(w akkor pozitív, ha $+z$ -vel egyező irányú); valamint a héjat geometriai szempontból jellemző β paramétert:

$$\beta = \frac{\sqrt[4]{3}}{\sqrt{h \cdot R}} = \frac{1,316}{\sqrt{h \cdot R}} \quad (13)$$

és az ív hosszirányú görbületváltozását:

$$\chi = \frac{1}{R} - \frac{1}{R_0} \quad (14)$$

(Pozitív R_0 esetén χ akkor pozitív, ha $R < R_0$, azaz R csökken, így $+\chi + M$ -nek felel meg.) E rövidítések segítségével a (11) egyenletet a következő egyszerűbb alakba írhatjuk:

$$w^{IV} + 4\beta^4 \cdot w = -4\beta^4 \cdot R \cdot \chi \cdot z_0(x) \quad (15)$$

Ebből a differenciálegyenletből kell a keresztmetszet w alakváltozását meghatározni. Az egyenletben w -n kívül minden mennyiség állandó, tehát állandó együtthatójú lineáris inhomogén differenciálegyenletünk van.

Peremfeltételeink w -re a következők:

1. A keresztmetszet közepén a szimmetria miatt a keresztmetszet érintője vízszintes marad:

$$w'(0) = 0. \quad (16)$$

2. A keresztmetszet közepén a szimmetria miatt a keresztirányú nyíróerő zérus:

$$w''(0) = 0. \quad (17)$$

3. A keresztmetszet szélén a keresztirányú nyomaték zérus:

$$w''(\pm b) = 0. \quad (18)$$

4. Végül a keresztmetszet szélén a nyíróerő zérus:

$$w'''(\pm b) = 0. \quad (19)$$

(15) egyenletünk megegyezik egy $2b$ hosszúságú rugalmasan ágyazott gerenda ismert differenciálegyenletével:

$$w^{IV} + \frac{c}{EJ} \cdot w = \frac{p(x)}{EJ} \quad (20)$$

EJ a gerenda hajlítási merevsége; c a rugalmas ágyazási tényező, vagyis a $w = 1$ egységnyi benyomódáshoz szükséges talpfeszültség; $p(x)$ a gerendára ható külső teher. A rugalmas ágyazást a $p = c \cdot w$ összefüggés jellemzi.

A rugalmasan ágyazott gerenda analógiájával könnyen bebizonyíthatjuk azt a később felhasználandó tételt, hogy a keresztmetszet súlypontja deformálódás közben helyben marad. A keresztmetszetnek mint rugalmasan ágyazott gerendának terhelése ugyanis (15) szerint z_0 -val arányos. Mivel z_0 súlypontjában vettük fel az origót:

$$\int_{-b}^{+b} z_0 \cdot dx = 0.$$

A keresztmetszetnek (mint gerendának) terhelése tehát egyensúlyi erőrendszer. Így a gerenda p rugalmas reakciói is egyensúlyi erőrendszeret alkotnak, tehát $p = c \cdot w$ miatt

$$\int_{-b}^{+b} p \cdot dx = b \cdot \int_{-b}^{+b} w \cdot dx = 0. \quad (20/a)$$

A gerenda (vagyis a keresztmetszet) w elmozdulási görbájének súlypontja tehát az elmozdulás előtti magasságba, $w = 0$ -ba esik. Így a deformálódott $z(x)$ keresztmetszet súlypontja is egybeesik az eredeti súlyponttal.

A (15) differenciálegyenlet w megoldását mint ismeretes, két részből kell összetenni: a homogén differenciálegyenlet w_0 megoldásából és az inhomogén egyenlet egy partikuláris w_1 megoldásából:

$$w = w_0 + w_1. \quad (21)$$

A *homogén* rész megoldása minden keresztmetszet-alakra ugyanaz:

$$w_0 = A \cdot \operatorname{ch} \beta x \cdot \cos \beta x + B \cdot \operatorname{sh} \beta x \cdot \sin \beta x + C \cdot \operatorname{ch} \beta x \cdot \sin \beta x + D \cdot \operatorname{sh} \beta x \cdot \cos \beta x. \quad (22)$$

(A, B, C, D , integrálási állandók, ezeket a (16)–(19) peremfeltételekből kell meghatározni.)

Az *inhomogén* egyenletet a különböző z_0 keresztmetszetalakoknak megfelelően esetről-esetre külön kell megoldani.

2. 3. Az $M(\chi)$ görbe és kezdeti érintője. Az eddigiekben az ív hosszirányú χ görbületváltozását ismertnek tételeztük fel, s ennek alapján határoztuk meg a w eltolódást. Most megvizsgáljuk, hogy χ milyen összefüggésben áll az ívre ható külső M hajlítónyomatékkal.

w ismeretében a keresztmetszet által felvett (hosszirányú) M nyomaték a belső n_y feszítőerők nyomatékának összegeként a következőképpen számítható (felhasználva a keresztmetszet laposságából származó egyszerűsítési lehetőségeket):

$$M = \int_{-b}^{+b} n_y \cdot z \cdot dx + \int_{-b}^{+b} m_y \cdot dx. \quad (23)$$

Mivel a korábban tárgyalt feltevések szerint a héj *vékony*, ezért a (23) kifejezés második tagját, mely a *héjlemez* hajlításából ébredő $m_y = \frac{E \cdot h^3}{12} \chi$ nyomatékokot képviseli, egyszerűség kedvéért elhagyjuk. (Ha kivételes esetben a héjkeresztmetszet merevsége olyan kicsi lenne, hogy a lemeznyomaték figyelembevétele a merevséget számottevő mértékben növelné, akkor a héjkeresztmetszetnek (23) első tagjából számítható (hatékony) inercianyomatékához egyszerűen hozzáadjuk a héjlemez $\frac{2 \cdot b h^3}{12}$ inercianyomatékát; 1. a számpéldát.)

A következőkben tehát csak az

$$M = \int_{-b}^{+b} n_y \cdot z \cdot dx \quad (24)$$

kifejezéssel foglalkozunk. (9), (12) és (14) alapján:

$$\begin{aligned} M &= E \cdot h \cdot \int_{-b}^{+b} \left(\frac{z^2}{R} - \frac{z \cdot z_0}{R_0} \right) \cdot dx = \\ &= E \cdot h \cdot \chi \cdot \int_{-b}^{+b} z_0^2 \cdot dx + \frac{E \cdot h}{R} \cdot \int_{-b}^{+b} z_0 \cdot w \cdot dx + E \cdot h \cdot \chi \cdot \int_{-b}^{+b} z_0 \cdot w \cdot dx + \\ &\quad + \frac{E \cdot h}{R} \cdot \int_{-b}^{+b} w^2 \cdot dx. \end{aligned} \quad (25)$$

(25) egyenlet adja meg a külső M nyomaték és a hosszirányú χ görbület-változás közötti pontos összefüggést (3. ábra). (25) első két tagjában χ az első hatványon szerepel, a második két tagban pedig a négyzetben, mivel (15) szerint w arányos $R \cdot \chi$ -vel. Mindegyik tagban szerepel ezenkívül R önmagában, és burkoltan a w_1 -ben és a w_0 -ban előforduló β -ban is. Így (25) valóban olyan alakú mint (2): $A(R) \cdot \chi$ jelenti (25) első két tagját, — $B(R) \cdot \chi^2$ pedig a harmadik és negyedik tagot.

Mint hogy ebben a dolgozatban csak az $M(\chi)$ görbe *kezdeti érintőjét* akarjuk meghatározni, ezért differenciáljuk (2)-t χ szerint:

$$\frac{dM}{d\chi} = \frac{dA(R)}{d\chi} \cdot \chi + A(R) - \frac{dB(R)}{d\chi} \cdot \chi^2 - B(R) \cdot 2 \cdot \chi. \quad (26)$$

A $\chi = 0$ pontban az érintő hajlásszöge $A(R)$ lesz, vagyis (25) első két tagja, χ -vel osztva. Másrészt a 3. ábrából láthatjuk, hogy az érintő hajlásszöge $E \cdot \gamma_1 \cdot J_0 = E \cdot J_0$. Így a héj-ív J_1 *hatékony inercianyomatéka*:

$$J_1 = \frac{A(R)}{E} = h \cdot \int_{-b}^{+b} z_0^2 \cdot dx + \frac{h}{R \cdot \chi} \cdot \int_{-b}^{+b} z_0 \cdot w \cdot dx. \quad (27)$$

(27) jobb oldalának első tagja a keresztmetszet *elemi inercianyomatéka*, J_0 :

$$J_0 = h \cdot \int_{-b}^{+b} z_0^2 \cdot dx. \quad (28)$$

Ezt (27)-be helyettesítve:

$$J_1 = J_0 + \frac{h}{R \cdot \chi} \cdot \int_{-b}^{+b} z_0 \cdot w \cdot dx. \quad (29)$$

Mivel az $M(\chi)$ görbe *kezdeti érintőjét* vizsgáljuk, a héj-ív hatékony J_1 inercianyomatékát az *eredeti*, deformálatlan héj-alak *geometriai méreteiből* (z_0 , R_0) kell kiszámítanunk. A következőkben tehát β , és az ebben szereplő R mindig a deformáció előtti β_0 -t, ill. R_0 -t jelentik.

A különböző keresztmetszetek merevség-csökkenésének könnyebb összehasonlítása kedvéért a

$$\gamma_1 = J_1/J_0 \quad (30)$$

viszonyszámokat fogjuk meghatározni ($\gamma_1 \leq 1$)

2.4. *A hatékony inercianyomaték meghatározása néhány keresztmetszetre.*
A tárgyalandó négyféle keresztmetszettípust úgy választottuk meg, hogy lehetőleg minden, a gyakorlatban előforduló keresztmetszet-alakot be tudjon a tervező sorolni vagy az egyik típusba, vagy a két típus közé, s így interpolálni tudjon két megadott eset eredménye között.

2.41. *Körív-alakú keresztmetszet (7. ábra).* Mint hogy a keresztmetszet feltevéseink szerint *lapos*, ezért egyrészt a körívet *parabolával* helyettesíthetjük, másrészt a keresztmetszet súlypontját a *magasság harmadában* vehetjük fel.

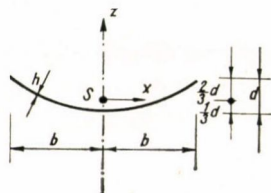
Így a keresztmetszetalak egyenlete a következő:

$$z_0 = d \left(\frac{x^2}{b^2} - \frac{1}{3} \right). \quad (31)$$

z_0 -nak ezt a kifejezést (15)-be helyettesítve a differenciálegyenlet *partikuláris megoldása* a következő:

$$w_1 = -R \cdot \chi \cdot z_0 \quad (32)$$

A (16)–(19) peremfeltételi egyenletekből meghatározzuk a (22) homogén megoldásrész állandóit (21)-et figyelembe véve.



7. ábra

A számítás végeredménye:

$$A = d \cdot R \cdot \chi \cdot \left[\frac{1}{(\beta b)^2} \cdot \frac{\text{sh } \beta b \cdot \cos \beta b - \text{ch } \beta b \cdot \sin \beta b}{\text{ch } \beta b \cdot \text{sh } \beta b + \cos \beta b \cdot \sin \beta b} \right] = d \cdot R \cdot \chi \cdot Z_A; \quad (33)$$

$$B = d \cdot R \cdot \chi \cdot \left[\frac{1}{(\beta b)^2} \cdot \frac{\text{sh } \beta b \cdot \cos \beta b + \text{ch } \beta b \cdot \sin \beta b}{\text{ch } \beta b \cdot \text{sh } \beta b + \cos \beta b \cdot \sin \beta b} \right] = d \cdot R \cdot \chi \cdot Z_B; \quad (34)$$

ha a zárójelben levő dimenzió nélküli mennyiséget Z_A -val ill. Z_B -vel jelöljük.

$$C = D = 0 \quad (35)$$

A konstansok számértékeit különböző βb -kre az I. táblázatban állítottuk össze.

A héjkeresztmetszet *elemi inercianyomatéka* (28) szerint (31) felhasználásával:

$$J_0 = h \cdot d^2 \cdot \int_{-b}^{+b} \left(\frac{x^2}{b^2} - \frac{1}{3} \right)^2 \cdot dx = \frac{8}{45} \cdot h \cdot d^2 \cdot b = 0,1778 \cdot h \cdot d^2 \cdot b. \quad (36)$$

A *hatékony inercianyomaték* (29) szerint (32) felhasználásával:

$$J_1 = J_0 + \frac{h}{R \cdot \chi} \cdot \int_{-b}^{+b} z_0 (-R \cdot \chi \cdot z_0 + w_0) \cdot dx. \quad (37/a)$$

Mint hogy az integrál első tagja $-J_0$ -val egyenlő, ezért a hatékony inercianyomaték a következő egyszerűbb alakba írható (22), (31), (33) és (34)-et felhasználva:

$$J_1 = \frac{h}{R \cdot \chi} \cdot \int_{-b}^{+b} z_0 \cdot w_0 \cdot dx = \frac{h \cdot d}{R \cdot \chi} \cdot \int_{-b}^{+b} \left(\frac{x^2}{b^2} - \frac{1}{3} \right) \cdot w_0 \cdot dx \quad (37/b)$$

Mivel (20/a) szerint:

$$\int_{-b}^{+b} w \cdot dx = \int_{-b}^{+b} (w_1 + w_0) \cdot dx = 0, \quad (38/a)$$

és (32) szerint:

$$\int_{-b}^{+b} w_1 \cdot dx = -R \cdot \chi \cdot \int_{-b}^{+b} z_0 \cdot dx = 0, \quad (38/b)$$

ezért

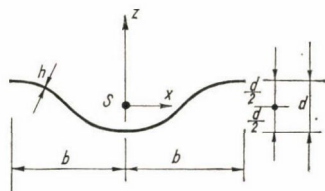
$$\int_{-b}^{+b} w_0 \cdot dx = 0. \quad (38/c)$$

Ezt felhasználva:

$$\begin{aligned} J_1 &= h \cdot d^2 \cdot \int_{-b}^{+b} \frac{x^2}{b^2} (Z_A \cdot \operatorname{ch} \beta x \cdot \cos \beta x + Z_B \cdot \operatorname{sh} \beta x \cdot \sin \beta x) \cdot dx = \\ &= \frac{h \cdot d^2 \cdot b}{(\beta b)^3} \cdot [Z_A \cdot (\operatorname{ch} \beta b \cdot \sin \beta b - \operatorname{sh} \beta b \cdot \cos \beta b - 2 \beta b \cdot \operatorname{sh} \beta b \cdot \sin \beta b) + \\ &\quad + Z_B \cdot (-\operatorname{ch} \beta b \cdot \sin \beta b - \operatorname{sh} \beta b \cdot \cos \beta b + 2 \beta b \cdot \operatorname{ch} \beta b \cdot \cos \beta b)]. \quad (39) \end{aligned}$$

A gyakorlati számítás megkönnyítése céljából kiszámítottuk a (39) kifejezést βb különböző értékeire. Ennek alapján a II. táblázatban feltüntettük a héj hatékony inercianyomatékát mutató $\gamma_1 = J_1/J_0$ viszonyszámot (l. még a II. ábrát is).

2. 42. Cosinus-alakú keresztmetszet (8. ábra)



8. ábra

A keresztmetszet egyenlete az ábrán felvett koordinátarendszerben:

$$z_0 = -\frac{d}{2} \cdot \cos \frac{\pi}{b} \cdot x. \quad (40)$$

Ennek megfelelően a (15) differenciálegyenlet *partikuláris megoldása*:

$$w_1 = -\frac{1}{1 + \frac{\pi^4}{4(\beta b)^4}} \cdot R \cdot \chi \cdot z_0. \quad (41)$$

A (16)–(19) *peremfeltéleli* egyenletekből azt kapjuk, hogy a cosinus-keresztmetszet állandói a körív-keresztmetszet állandóinak

$$-\frac{\pi^2}{4 + \frac{\pi^4}{(\beta b)^4}} \quad (42)$$

-szorosai (lásd az I. táblázatot).

A keresztmetszet *elemi inercianyomatéka* (28) szerint:

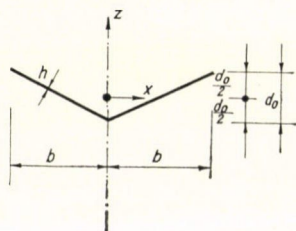
$$J_0 = \frac{h \cdot d^2}{4} \cdot \int_{-b}^{+b} \cos^2 \frac{\pi}{b} \cdot x \cdot dx = 0,250 \cdot h \cdot d^2 \cdot b. \quad (43)$$

A *hatékony inercianyomaték* (29) szerint:

$$\begin{aligned} J_1 &= J_0 + \frac{h}{R \cdot \chi} \cdot \int_{-b}^{+b} z_0 \cdot \left(-\frac{1}{1 + \frac{\pi^4}{4(\beta b)^4}} \cdot R \cdot \chi \cdot z_0 + w_0 \right) \cdot dx = \\ &= h \cdot d^2 \cdot b \cdot \left\{ 0,250 \cdot \frac{1}{1 + \frac{4(\beta b)^4}{\pi^4}} + \right. \\ &\quad \left. + \frac{Z_A}{2} \cdot \left[\frac{\beta b \cdot \text{sh } \beta b \cdot \cos \beta b - (\pi - \beta b) \cdot \text{ch } \beta b \cdot \sin \beta b}{(\beta b)^2 + (\pi - \beta b)^2} + \right. \right. \\ &\quad \left. \left. + \frac{\beta b \cdot \text{sh } \beta b \cdot \cos \beta b + (\pi + \beta b) \cdot \text{ch } \beta b \cdot \sin \beta b}{(\beta b)^2 + (\pi + \beta b)^2} \right] + \right. \\ &\quad \left. + \frac{Z_B}{2} \cdot \left[\frac{\beta b \cdot \text{ch } \beta b \cdot \sin \beta b + (\pi - \beta b) \cdot \text{sh } \beta b \cdot \cos \beta b}{(\beta b)^2 + (\pi - \beta b)^2} + \right. \right. \\ &\quad \left. \left. + \frac{\beta b \cdot \text{ch } \beta b \cdot \sin \beta b - (\pi + \beta b) \cdot \text{sh } \beta b \cdot \cos \beta b}{(\beta b)^2 + (\pi + \beta b)^2} \right] \right\}. \quad (44) \end{aligned}$$

(44) számértékeit, illetve a $\gamma_1 = J_1/J_0$ viszonyszámot különböző βb -kre a II. táblázatban adjuk meg (lásd a II. ábrát is).

2. 43. *V-alakú keresztmetszet* (9. ábra). Minthogy a keresztmetszet középen törés van, ezért csak a jobb oldalára végzünk el minden számítást. A két fél-



9. ábra

keresztmetszet deformációjának összeillesztését a (16) és (17) peremfeltételek biztosítják.

A keresztmetszet *jobb oldalának egyenlete* tehát:

$$z_0 = d \cdot \left(\frac{x}{b} - \frac{1}{2} \right). \quad (45)$$

Így (15) *partikuláris megoldása*:

$$w_1 = -R \cdot \chi \cdot z_0. \quad (46)$$

A (16)–(19) peremfeltételi egyenletekből:

$$Z_C + Z_D = \frac{1}{2 \cdot \beta b}. \quad (47)$$

$$Z_A = \frac{+\Phi_1 \cdot (\operatorname{ch} \beta b \cdot \sin \beta b - \operatorname{sh} \beta b \cdot \cos \beta b) + \Phi_2 \cdot \operatorname{ch} \beta b \cdot \cos \beta b}{\operatorname{sh} \beta b \cdot \sin \beta b (\operatorname{ch} \beta b \cdot \sin \beta b - \operatorname{sh} \beta b \cdot \cos \beta b) + \operatorname{ch} \beta b \cdot \cos \beta b (\operatorname{ch} \beta b \cdot \sin \beta b + \operatorname{sh} \beta b \cdot \cos \beta b)} \quad (48)$$

$$Z_B = \frac{-\Phi_1 \cdot (\operatorname{ch} \beta b \cdot \sin \beta b + \operatorname{sh} \beta b \cdot \cos \beta b) + \Phi_2 \cdot \operatorname{sh} \beta b \cdot \sin \beta b}{\operatorname{sh} \beta b \cdot \sin \beta b (\operatorname{ch} \beta b \cdot \sin \beta b - \operatorname{sh} \beta b \cdot \cos \beta b) + \operatorname{ch} \beta b \cdot \cos \beta b (\operatorname{ch} \beta b \cdot \sin \beta b + \operatorname{sh} \beta b \cdot \cos \beta b)} \quad (49)$$

Itt

$$\Phi_1 = Z_C \cdot \operatorname{sh} \beta b \cdot \cos \beta b - Z_D \cdot \operatorname{ch} \beta b \cdot \sin \beta b, \quad (50)$$

és

$$\Phi_2 = Z_C (\operatorname{ch} \beta b \cdot \cos \beta b - \operatorname{sh} \beta b \cdot \sin \beta b) - Z_D (\operatorname{sh} \beta b \cdot \sin \beta b + \operatorname{ch} \beta b \cdot \cos \beta b) \quad (51)$$

(lásd az I. táblázatot).

A keresztmetszet *elemi inercianyomatéka* (28):

$$J_0 = h \cdot d^2 \cdot 2 \cdot \int_0^{+b} \left(\frac{x}{b} - \frac{1}{2} \right)^2 \cdot dx = \frac{1}{6} \cdot h \cdot d^2 \cdot b = 0,1667 \cdot h \cdot d^2 \cdot b. \quad (52)$$

A *hatékony inercianyomaték* (29):

$$\begin{aligned} J_1 &= J_0 + \frac{h}{R \cdot \chi} \cdot 2 \cdot \int_0^{+b} z_0 \cdot (-R \cdot \chi \cdot z_0 + w_0) \cdot dx = \\ &= \frac{h}{R \cdot \chi} \cdot 2 \cdot \int_0^{+b} z_0 \cdot w_0 \cdot dx = \frac{h \cdot d}{R \cdot \chi} \cdot 2 \cdot \int_0^{+b} \left(\frac{x}{b} - \frac{1}{2} \right) \cdot w_0 \cdot dx \end{aligned} \quad (53/a)$$

I. T Á B L Á Z A T

Különböző keresztmetszetek A—D állandói

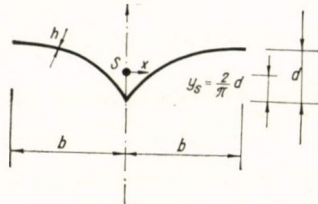
Keresztmetszet alakja	$\beta b =$	1	2	3	4	6	10
Körív	Z_A	-0,29254	-0,0930	-0,01252	+0,0002388	$+1,716 \cdot 10^{-4}$	$+2,664 \cdot 10^{-7}$
	Z_B	+0,85245	+0,03604	-0,00940	-0,003224	$+9,42 \cdot 10^{-5}$	$-1,25 \cdot 10^{-6}$
	$Z_C = Z_D$	0	0	0	0	0	0
Cosinus	Z_A	+0,0284	+0,0910	+0,02372	-0,000536		
	Z_B	-0,0830	-0,03526	+0,01778	+0,00724		
	$Z_C = Z_D$	0	0	0	0		
V-alak	Z_A	-0,4605	-0,2642	-0,166105	-0,12492		
	Z_B	-0,1492	-0,232	-0,16604	-0,12471		
	$Z_C = Z_D$	+0,500	+0,250	+0,16667	+0,1250		
Szárnyalak	Z_A	-0,596	-0,3935	-0,27662	-0,21041		
	Z_B	-0,1555	-0,256	-0,20948	-0,17574		
	Z_C	-0,0724	+0,2475	+0,22167	+0,18013		
	Z_D	+0,696	+0,468	+0,29209	+0,21023		

Mivel a (38/a—c) képletek V-keresztmetszet esetére is érvényesek, (53/a) a következőképpen egyszerűsödik:

$$J_1 = \frac{h \cdot d}{R \cdot \chi} \cdot 2 \cdot \int_0^{+b} \frac{x}{b} \cdot w_0 \cdot dx = \frac{h \cdot d^2 \cdot b}{(\beta b)^2} \cdot [-Z_A \cdot \text{sh } \beta b \cdot \sin \beta b +$$

$$(+Z_B \cdot (\text{ch } \beta b \cdot \cos \beta b - 1) - Z_C \cdot (\text{ch } \beta b \cdot \sin \beta b - \text{sh } \beta b \cdot \cos \beta b)] \quad (53/b)$$

$\gamma_1 = J_1/J_0$ számértékeit különböző βb -k esetére a II. táblázatban adjuk meg (lásd a II. ábrát is).



10. ábra

2.44. Szárny alakú keresztmetszet (10. ábra). A keresztmetszetet két negyed sinusvonalból tesszük össze. A számításokat a keresztmetszet közepén levő törés miatt csak a jobb oldalra végezzük el; a két félszámítás összeillesztését a (16) és (17) peremfeltételek biztosítják.

A keresztmetszet jobb felének egyenlete (a súlypont magassága: $2d/\pi$):

$$z_0 = d \cdot \left(\sin \frac{\pi}{2b} x - \frac{2}{\pi} \right). \quad (54)$$

Így (15) partikuláris megoldása :

$$w_1 = R \cdot \chi \cdot d \left(- \frac{1}{1 + \frac{\pi^4}{64(\beta b)^4}} \cdot \sin \frac{\pi}{2b} x + \frac{2}{\pi} \right). \quad (55)$$

A peremfeltételek egyenletekből :

$$Z_C = \frac{1}{1 + \frac{\pi^4}{64(\beta b)^4}} \cdot \frac{\pi}{4\beta b} \left[1 - \frac{\pi^2}{8(\beta b)^2} \right] \quad (56)$$

$$Z_D = \frac{1}{1 + \frac{\pi^4}{64(\beta b)^4}} \cdot \frac{\pi}{4\beta b} \left[1 + \frac{\pi^2}{8(\beta b)^2} \right] \quad (57)$$

és (50), valamint (51) rövidítések felhasználásával:

$$Z_A = \frac{\left[\Phi_1 + \frac{1}{1 + \frac{\pi^4}{64(\beta b)^4}} \frac{\pi^2}{8(\beta b)^2} \right] (\operatorname{ch} \beta b \cdot \sin \beta b - \operatorname{sh} \beta b \cdot \cos \beta b) + \Phi_2 \cdot \operatorname{ch} \beta b \cdot \cos \beta b}{\operatorname{sh} \beta b \cdot \sin \beta b (\operatorname{ch} \beta b \cdot \sin \beta b - \operatorname{sh} \beta b \cdot \cos \beta b) + \operatorname{ch} \beta b \cdot \cos \beta b (\operatorname{ch} \beta b \cdot \sin \beta b + \operatorname{sh} \beta b \cdot \cos \beta b)} \quad (58)$$

$Z_B =$

$$= \frac{\left[\Phi_1 + \frac{1}{1 + \frac{\pi^4}{64(\beta b)^4}} \frac{\pi^2}{8(\beta b)^2} \right] (\operatorname{ch} \beta b \cdot \sin \beta b + \operatorname{sh} \beta b \cdot \cos \beta b) + \Phi_2 \cdot \operatorname{sh} \beta b \cdot \sin \beta b}{\operatorname{sh} \beta b \cdot \sin \beta b (\operatorname{ch} \beta b \cdot \sin \beta b - \operatorname{sh} \beta b \cdot \cos \beta b) + \operatorname{ch} \beta b \cdot \cos \beta b (\operatorname{ch} \beta b \cdot \sin \beta b + \operatorname{sh} \beta b \cdot \cos \beta b)} \quad (59)$$

(lásd az I. táblázatot).

A keresztmetszet *elemi inercianyomatéka* (28) szerint:

$$J_0 = h \cdot d^2 \cdot 2 \int_0^{+b} \left(\sin \frac{\pi}{2b} x - \frac{2}{\pi} \right)^2 \cdot dx = \left(1 - \frac{8}{\pi^2} \right) \cdot h \cdot d^2 \cdot b = 0,18944 \cdot h \cdot d^2 \cdot b. \quad (60)$$

A keresztmetszet *hatékony inercianyomatéka* (29) szerint:

$$\begin{aligned} J_1 &= J_0 + \frac{h}{R \cdot \chi} \cdot 2 \cdot \int_0^{+b} z_0 \cdot (w_1 + w_0) \cdot dx = \\ &= J_0 + \frac{h \cdot d}{R \cdot \chi} \cdot 2 \int_0^{+b} \left(\sin \frac{\pi}{2b} x - \frac{2}{\pi} \right) \cdot (w_1 + w_0) \cdot dx. \end{aligned} \quad (61/a)$$

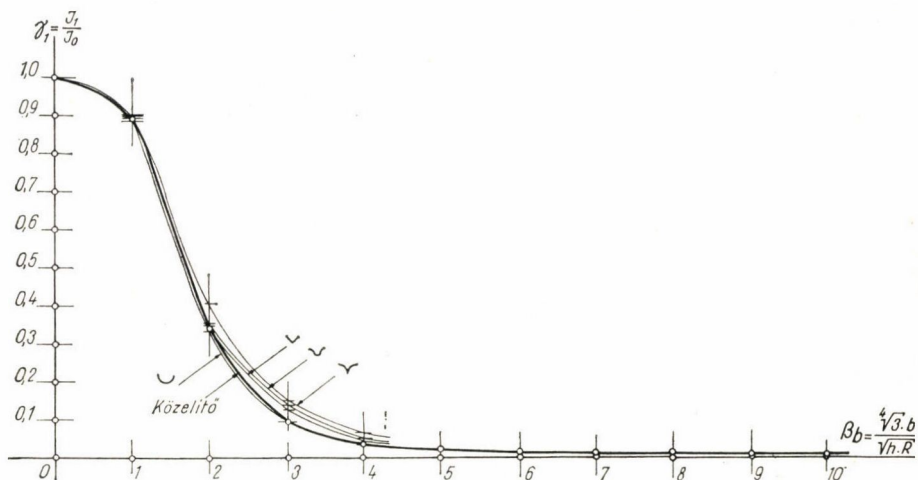
(38/a)-t felhasználva.

$$\begin{aligned}
 J_1 = J_0 + \frac{h \cdot d}{R \cdot \chi} \cdot 2 \int_0^{+b} \sin \frac{\pi}{2b} x \cdot (w_1 + w_0) \cdot dx = h \cdot d^2 \cdot b \left\{ \frac{1}{1 + \frac{64(\beta b)^4}{\pi^4}} + \right. \\
 + Z_A \left[\frac{\beta b \cdot \text{sh } \beta b \cdot \cos \beta b - \left(\frac{\pi}{2} - \beta b \right) \cdot \text{ch } \beta b \cdot \sin \beta b + \left(\frac{\pi}{2} - \beta b \right)}{(\beta b)^2 + \left(\frac{\pi}{2} - \beta b \right)^2} + \right. \\
 + \left. \frac{\beta b \cdot \text{sh } \beta b \cdot \cos \beta b + \left(\frac{\pi}{2} + \beta b \right) \cdot \text{ch } \beta b \cdot \sin \beta b + \left(\frac{\pi}{2} + \beta b \right)}{(\beta b)^2 + \left(\frac{\pi}{2} + \beta b \right)^2} \right] + \\
 + Z_B \cdot \left[\frac{\beta b \cdot \text{ch } \beta b \cdot \sin \beta b + \left(\frac{\pi}{2} - \beta b \right) \text{sh } \beta b \cdot \cos \beta b - \beta b}{(\beta b)^2 + \left(\frac{\pi}{2} - \beta b \right)^2} + \right. \\
 + \left. \frac{\beta b \cdot \text{ch } \beta b \cdot \sin \beta b - \left(\frac{\pi}{2} + \beta b \right) \cdot \text{sh } \beta b \cdot \cos \beta b + \beta b}{(\beta b)^2 + \left(\frac{\pi}{2} + \beta b \right)^2} \right] + \\
 + Z_C \cdot \left[\frac{\beta b \cdot \text{sh } \beta b \cdot \sin \beta b + \left(\frac{\pi}{2} - \beta b \right) \cdot \text{ch } \beta b \cdot \cos \beta b}{(\beta b)^2 + \left(\frac{\pi}{2} - \beta b \right)^2} + \right. \\
 + \left. \frac{\beta b \cdot \text{sh } \beta b \cdot \sin \beta b - \left(\frac{\pi}{2} + \beta b \right) \cdot \text{ch } \beta b \cdot \cos \beta b}{(\beta b)^2 + \left(\frac{\pi}{2} + \beta b \right)^2} \right] + \\
 + Z_D \cdot \left[\frac{\beta b \cdot \text{ch } \beta b \cdot \cos \beta b - \left(\frac{\pi}{2} - \beta b \right) \cdot \text{sh } \beta b \cdot \sin \beta b}{(\beta b)^2 + \left(\frac{\pi}{2} - \beta b \right)^2} + \right. \\
 + \left. \frac{\beta b \cdot \text{ch } \beta b \cdot \cos \beta b + \left(\frac{\pi}{2} + \beta b \right) \cdot \text{sh } \beta b \cdot \sin \beta b}{(\beta b)^2 + \left(\frac{\pi}{2} + \beta b \right)^2} \right] \left. \right\}
 \end{aligned}$$

(61/b)

(61b) és (60) hányadosát, γ_1 -et különböző βb -kre számszerűen a II. táblázatban és a 11. ábrán adjuk meg.

2.5. A különböző keresztmetszetek hatékony inercianyomatékainak összehasonlítása. A 11. ábrából látható, hogy a különböző keresztmetszetek γ_1 -görbéi alig térnek el egymástól. Valamennyi vízszintes érintővel indul, βb növekedtével rohamosan csökken, és $\beta b > 4$ értéknél γ_1 már kisebb mint 0,05, azaz a hatékony J_1 inercianyomaték az elemi J_0 inercianyomatéknak kevesebb mint 5%-a (kivéve a szárny-keresztmetszetet). Ez az oka annak, hogy a II. táblázatot csak $\beta b = 1, 2, 3, 4$ értékekre számítottuk ki, mert ez a szakasz jellemzi a γ_1 görbét. A körív-keresztmetszet γ_1 görbéjének számítását azonban egészen $\beta b = 10$ -ig elvégeztük.



11. ábra

Mindezek alapján célszerű egy közelítő γ_1 görbét konstruálnunk, amely minden keresztmetszetre megadja a hatékony inercianyomatékot, s a tervező mérnök számára elég egyszerű.

Vizsgálataink szerint a

$$\gamma_{1\text{közelítő}} = \frac{1}{1 + 0,120 \cdot (\beta b)^4} = \frac{1}{1 + 0,360 \frac{b^4}{h^2 \cdot R^2}} \quad (62)$$

görbe néhány %-on belül megközelíti az egyes keresztmetszetek pontos γ_1 görbéjét s általában (különösen nagy βb -knél) a biztonság javára tér el tőlük (lásd a II. táblázatot és a 11. ábrát).

3. Általánosítások. Stabilitásvizsgálat központos nyomásra

3.1. Fordított keresztmetszetek. A tárgyalt $1/a-d$ keresztmetszetek megfordíthatók (1/e ábra), s az eddig mondottak a megfordított keresztmetszetekre is érvényesek. A keresztmetszet megfordításával ugyanis z_0 előjele változik

II. T Á B L Á Z A T

Különböző keresztmetszetek hatékony inercianyomatéki szorzói

Keresztmetszet alakja	$\beta b =$	0	1	2	3	4	6	10
Körív	$\gamma_1 =$	1	0,895	0,333	0,093	0,033	0,0073	0,00101
Cosinus	$\gamma_1 =$	1	0,890	0,347	0,1391	0,0468		
V-alak	$\gamma_1 =$	1	0,891	0,351	0,111	0,0467		
Szárny-alak	$\gamma_1 =$	1	0,897	0,4075	0,1493	0,070		
Közelítő	$\gamma_1 =$	1	0,893	0,342	0,0931	0,0315	0,0064	0,000833

meg, ez pedig w előjelét is megfordítja (lásd pl. (32)-t, (41)-et stb.). Így J_1 sem változik (29).

3. 2. *Meredekebb keresztmetszetek.* Meredekebb keresztmetszetek esetén a modellkísérletek tanúsága szerint korrigálni kell a számítást. Ezt egy későbbi alkalommal szeretnénk tárgyalni.

3. 3. *A központosan nyomott héj-ív stabilitása az ív síkjában.* A levezetések előtt feltettük, hogy az ív hosszirányú görbületi sugara (R) állandó, s az ív keresztmetszete mindenütt ugyanaz. A valóságban azonban általában változik a hosszirányú görbületi sugár, és sokszor az ív keresztmetszete is, az ív hossza mentén. Ilyenkor azt kell tennünk, hogy több keresztmetszetben kiszámítjuk a hatékony inercianyomatékot az illető keresztmetszet alakjának és az ott érvényes hosszirányú görbületi sugárnak megfelelően, s ezután az ívet közön-séges, változó keresztmetszetű ívként kezelhetjük, tehát az ív kritikus H -erejét a megtámasztási módnak megfelelően a statika szokásos módszereivel határozhatjuk meg (lásd a számpéldát).

Eljárásunk ebben az esetben természetesen közelítő lesz s annál kevésbé megbízható, minél hirtelenebbül változik a hosszirányú görbületi sugár és a keresztmetszet. Az eddig végzett modellkísérletek azonban azt mutatják, hogy ez a közelítés a gyakorlati számításokhoz jól használható.

4. Számpélda

Számpéldának válasszunk egy megépült héjat: az Újpesti Börengygyár tetőelemeit (tervezte 1953-ban Gnädig Miklós, épült 1954-ben).

Az ív hosszirányú keresztmetszete is másodfokú parabola (12. ábra). A keresztmetszet d magassága a vállak felé ugyancsak parabola szerint csökken. A keresztmetszetek meredekségét nem vesszük figyelembe.

A főméretek:

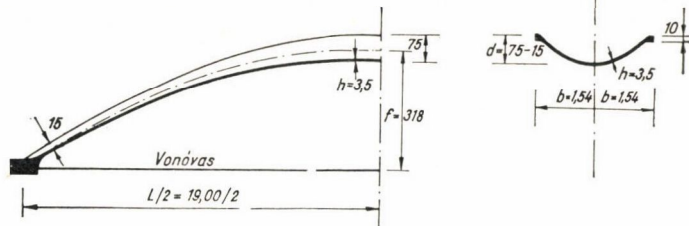
$$\begin{aligned} h &= 3,5 \text{ cm} \\ b &= 154 \text{ cm} \\ L &= 19,00 \text{ m} \\ f &= 3,18 \text{ m.} \end{aligned}$$

Maga a héj téglabetétes vasbetonlemez. Az alkalmazott ún. kábeltéglák mérete $21 \cdot 40$ cm, a köztük levő köz 3 cm. Az átlagos rugalmassági modulus $E_{\text{át}} = 86,6$ t/cm².

$$f/L = 318/1900 = 0,167$$

A kétsuklósnak tekinthető ív kihajlási hossza ennek megfelelően:

$$L_0 = 0,586 \cdot 19,00 = 11,13 \text{ m}$$



12. ábra

Az ív *inercianyomatékát* a záradékban, $L/4$ -ben és a vállban számítjuk ki.

Záradékban : $d = 75$ cm;

$$R = \frac{L^2}{8f} = \frac{19^2}{8 \cdot 3,18} = 14,1 \text{ m.}$$

(13) szerint :
$$\beta b = \frac{1,316 \cdot 154}{\sqrt{3,5 \cdot 1410}} = 2,88$$

(62) szerint :
$$\gamma_1 = \frac{1}{1 + 0,120 \cdot 2,88^4} = 0,108$$

(36) szerint:
$$J_0 = 0,1778 \cdot 154 \cdot 3,5 \cdot 75^2 = 5,37 \cdot 10^5 \text{ cm}^4$$

$$J_1 = \gamma_1 \cdot J_0 = 0,108 \cdot 5,37 \cdot 10^5 = 5,80 \cdot 10^4 \text{ cm}^4$$

$$J_{\text{lemez}} = 2 \cdot \frac{154 \cdot 3,5^3}{12} = 0,11 \cdot 10^4 \text{ cm}^4$$

$$J_{\text{záradék}} = 5,91 \cdot 10^4 \text{ cm}^4$$

$L/4$ -ben : $d = 60$ cm; $R = 16,60$ m; $\beta b = 2,66$; $\gamma_1 = 0,142$

$$J_{L/4} = 5,01 \cdot 10^4 \text{ cm}^4$$

Vállban : $d = 15$ cm; $R = 24,6$ m; $\beta b = 2,18$; $\gamma_1 = 0,270$

$$J_{\text{váll}} = 0,690 \cdot 10^4 \text{ cm}^4$$

E három inercianyomaték alapján közelítően meghatározzuk a fél ív „átlagos” inercianyomatékát (pl. lehajlás-egyenlőség alapján):

$$J_{\text{át}} \approx 4,67 \cdot 10^4 \text{ cm}^4.$$

Így a rugalmas alapon számított kritikus H -erő:

$$H_{krit} = \frac{\pi^2 \cdot E_{\text{átl}} \cdot J_{\text{átl}}}{L_0^2} = \frac{\pi^2 \cdot 86,6 \cdot 4,67 \cdot 10^4}{1113^2} = 32,2 \text{ t.}$$

A valóságban keletkező H -erő (180 kg/m² összteherből):

$$H = 3,06 \cdot 180 \cdot \frac{19^2}{8 \cdot 3,18} = 7,82 \text{ t.}$$

A kihajlással szemben való biztonság tehát $32,2/7,82 = 4,12$ -szeres. A valóságban ezt a biztonságot még növeli a héjperem-ív megvastagítása (12. ábra), amit a számításban nem vettünk figyelembe.

Összefoglalás

A dolgozat vékony, peremükön nem merevített héj-ívek hajlítási merevségét vizsgálja a szokásos rugalmasságtani feltevések mellett. E héj-ívek keresztmetszete a hajlító-igénybevétel hatására ellapul (vagy feldomborodik), s ezért az ív hajlítással szemben tanúsított merevsége általában lényegesen kisebb, mint az elemi elmélet szerint számítható merevség. Elméleti úton meghatározza a hajlítónyomaték és a görbületváltozás közötti összefüggést *tetszőleges szimmetrikus ívkeresztmetszet* esetére, számszerűen megadja az ún. hatékony inercianyomaték értékét a gyakorlatban leggyakrabban előforduló négyféle ívkeresztmetszetre, s egyszerű közelítő képletet is ad a különféle keresztmetszetek hatékony inercianyomatékának gyors meghatározásához. A központosan nyomott héj-ívnek az ív síkjában való stabilitásvizsgálatához az így kiszámított hatékony inercianyomatékot kell figyelembe venni. Végül szám példán mutatja be az eredmények gyakorlati felhasználását.

IRODALOM:

- [1] BELLUZZI, O.: Un caso di instabilità per ovalizzazione nei tubi sollecitati a flessione. Ric. Ingegn. 1. (1933) 79—87.
La stabilità dell'equilibrio delle coperture a due spioventi inflesse longitudinalmente. Ric. Ingegn. 2. (1934) 161—166.
Sulla stabilità dell'equilibrio delle volte Zeiss e Dywidag. Ric. Ingegn. 3. (1935) 35—40.
- [2] BRAZIER, L. G.: On the Flexure of Thin Cylindrical Shells and other „Thin” Sections. Proc. Royal Society, London, Ser. A. Vol. 116. (1927) 104—114.
- [3] CHWALLA, E.: Reine Biegung schlanker, dünnwandiger Rohre mit gerader Achse. Zeitschr. f. angew. Mat. u. Mech. Bd. 13. (1933) 48—53.
- [4] FUNK, P.: Über die durch Krümmung steifgemachten Messbänder. Zeitschr. f. angew. Math. u. Mech. Bd. 14. (1934) 251—52.
Über ein Stabilitätsproblem bei den durch Krümmung steifgemachten Messbändern. Österreichisches Ingenieur-Archiv, Bd. 5. (1951) 387—97.
- [5] KÁRMÁN, TH.: Über die Formänderung dünnwandiger Rohre, insbesondere federnder Ausgleichsrohre. VDI-Zeitschrift. Bd. 55. (1911) 1889—95.
- [6] WEINEL, E.: Über Biegung und Stabilität eines doppelt gekrümmten Plattenstreifens. Zeitschr. f. angew. Math. u. Mech. Bd. 17. (1937) 366—9.